

Fig. 2

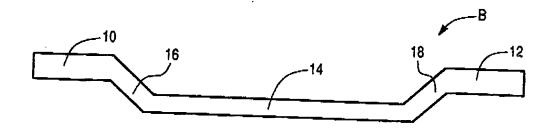


Fig. 3

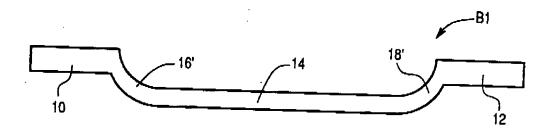
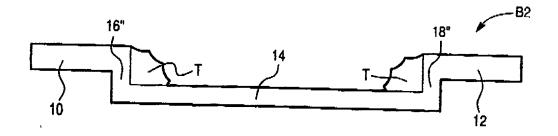


Fig. 4



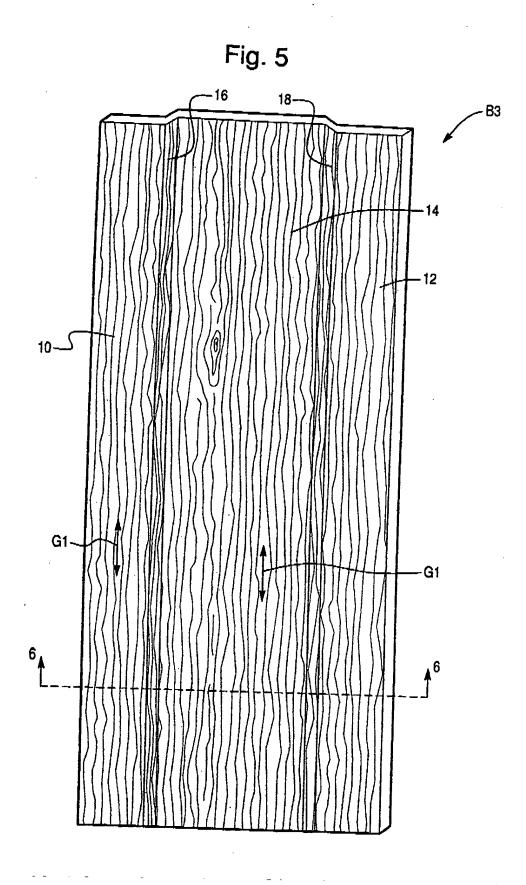


Fig. 6

Fig. 8

Fig. 7

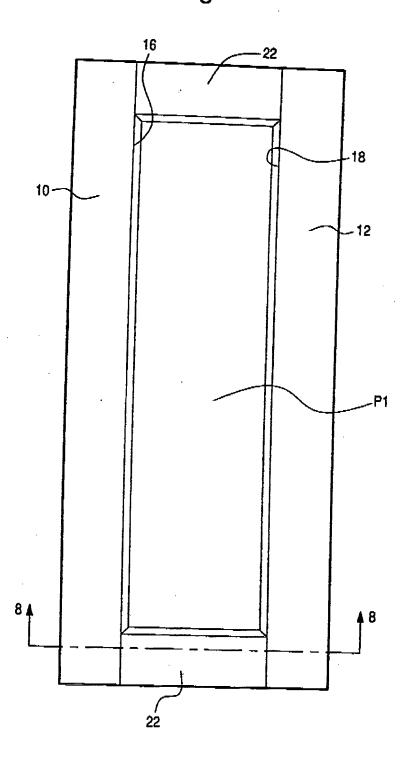
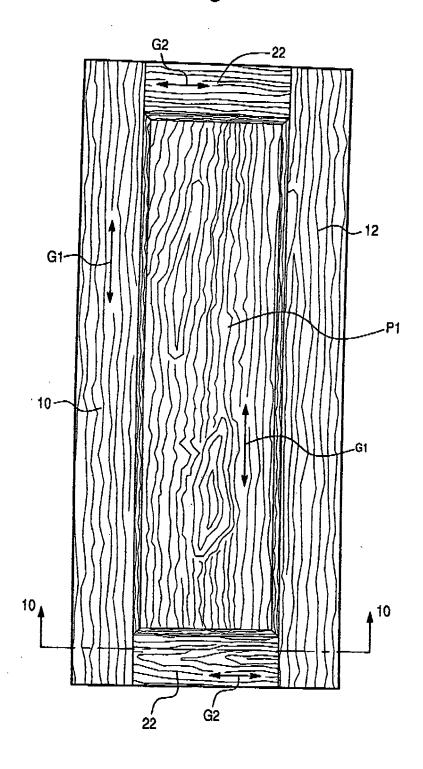
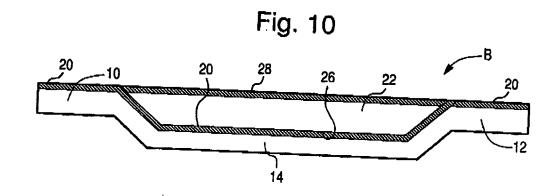
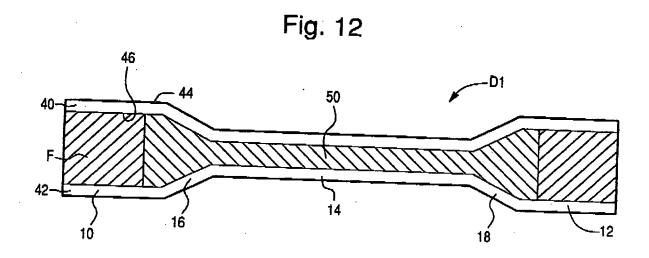
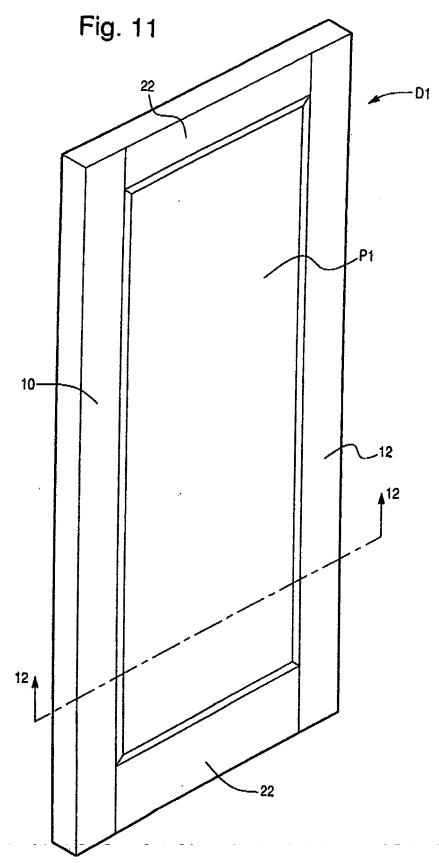


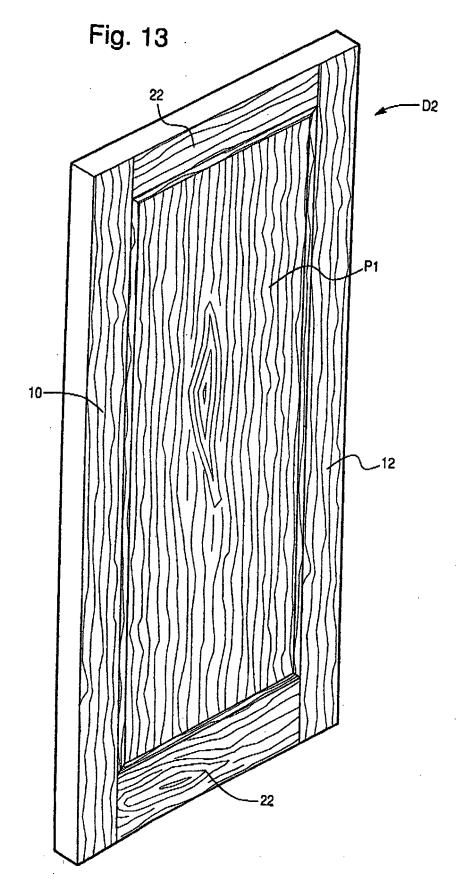
Fig. 9

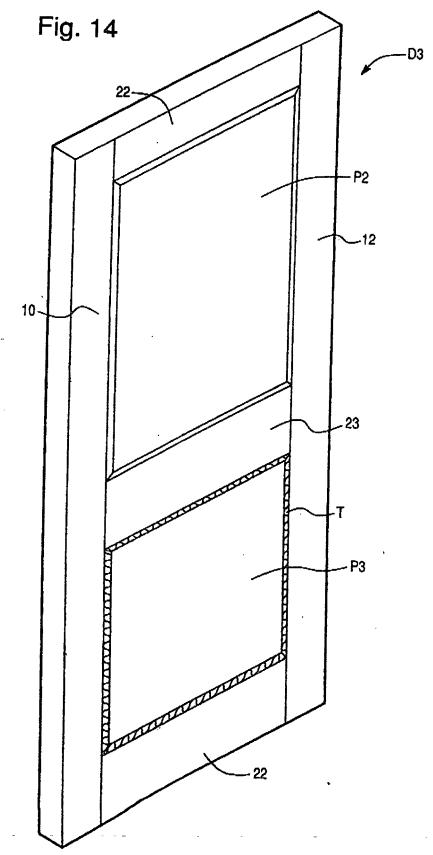


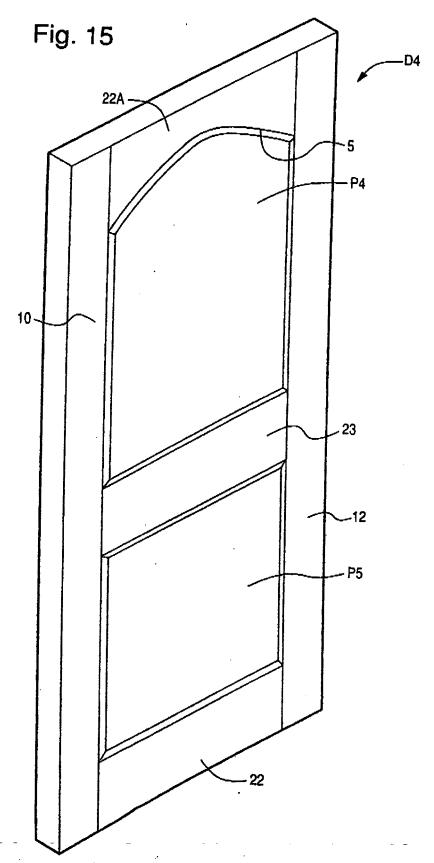


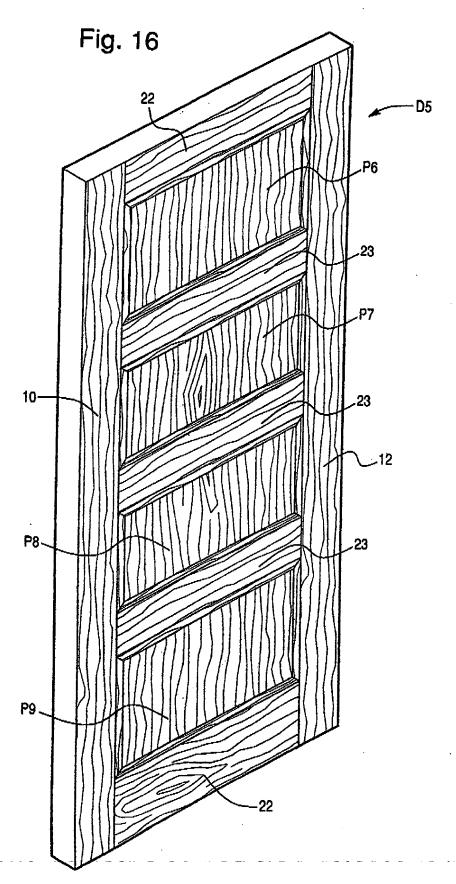


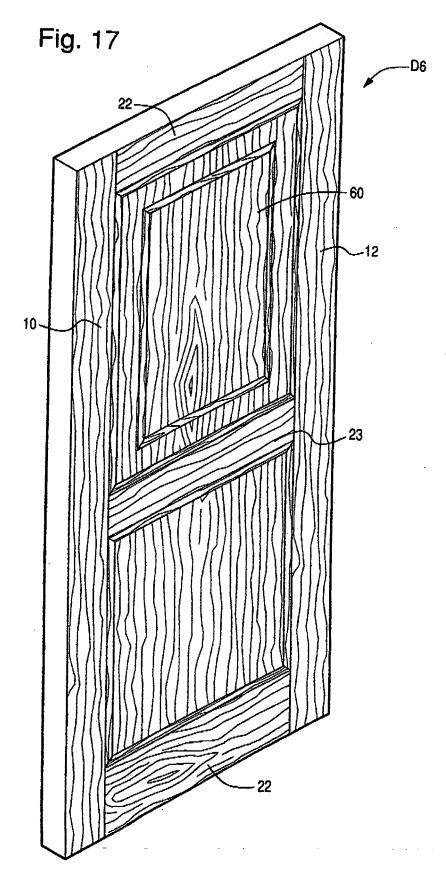


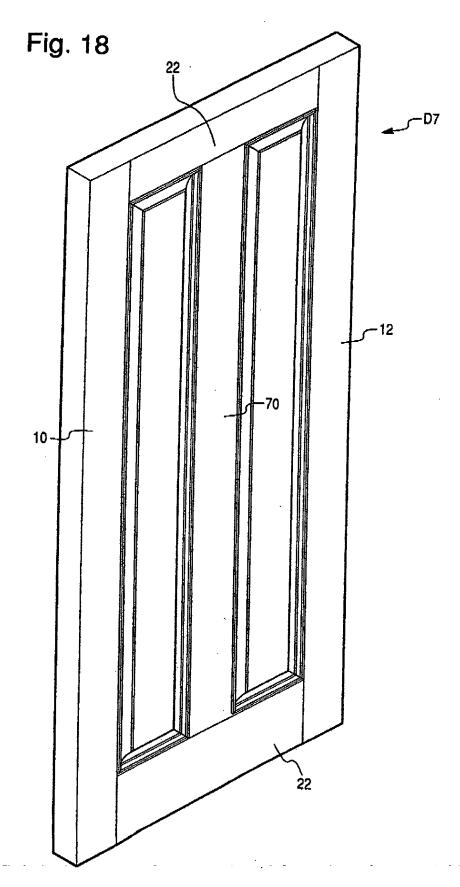


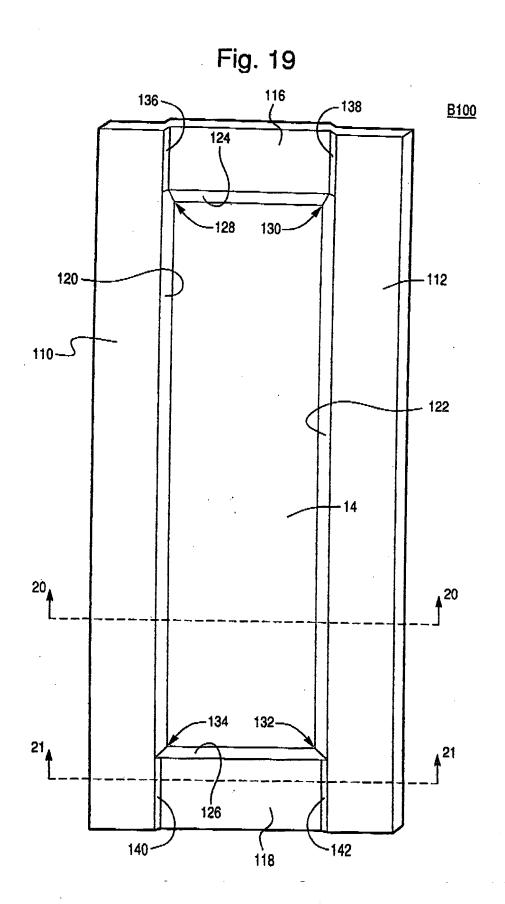


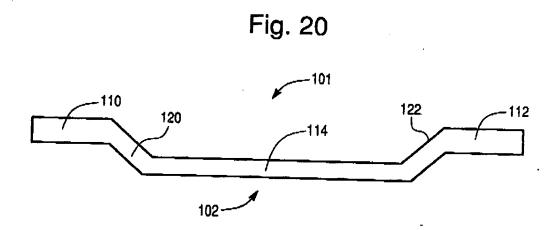


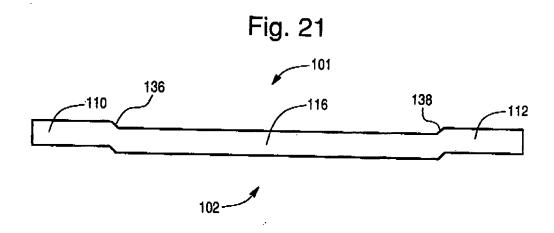


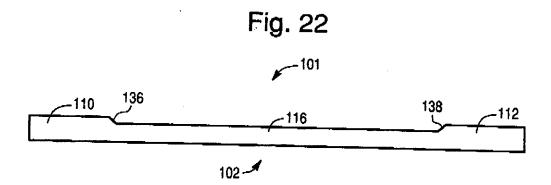












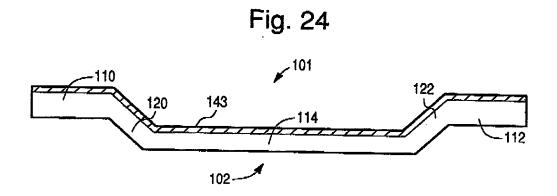
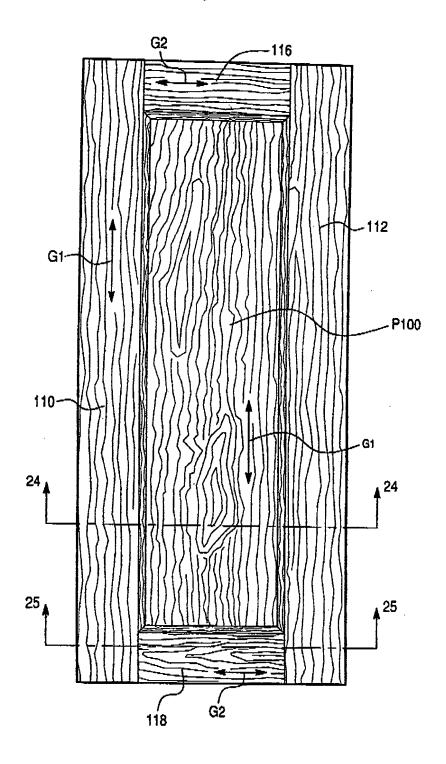


Fig. 23



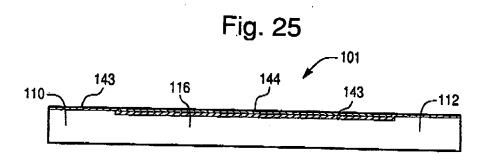
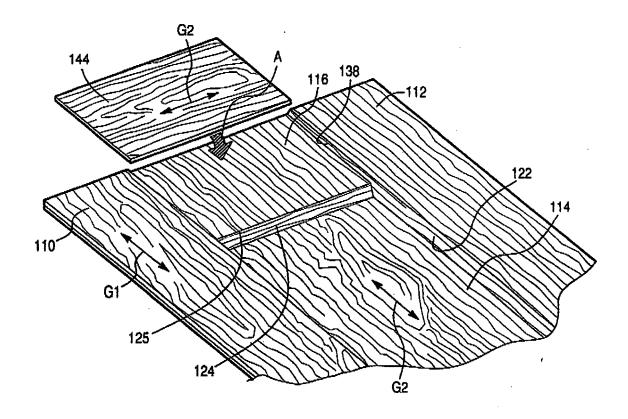


Fig. 25A



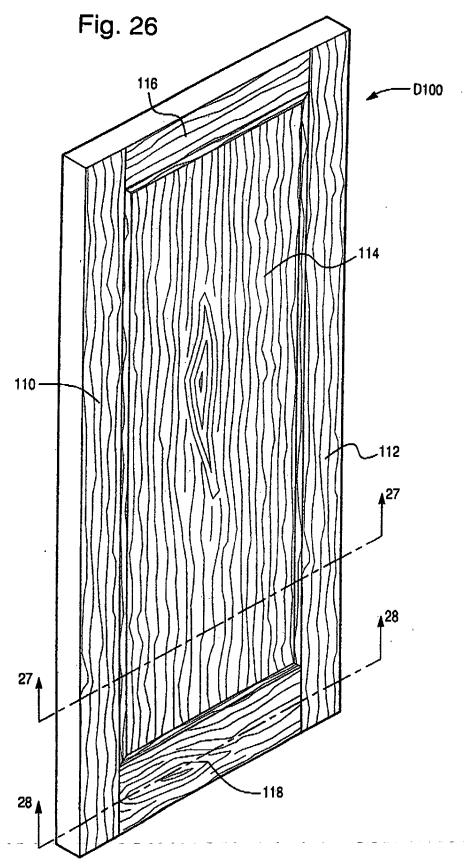


Fig. 27

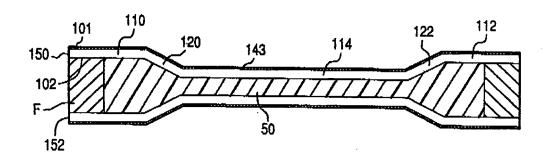


Fig. 28

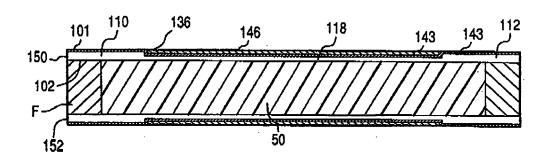
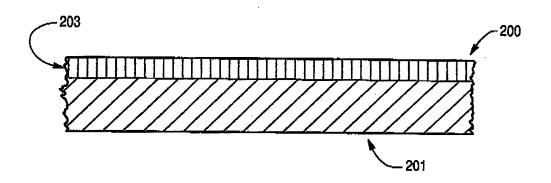


Fig. 29



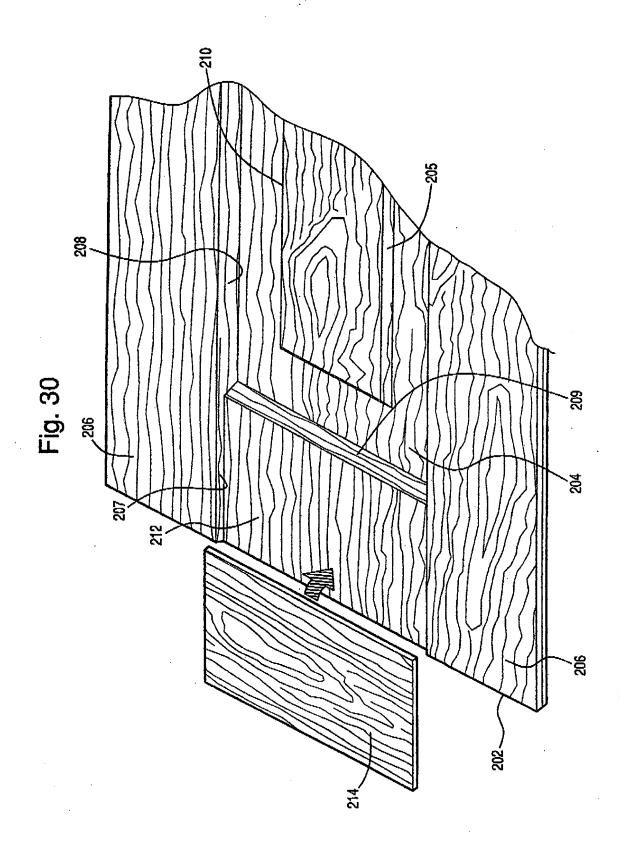


Fig. 31

213

203

211

Fig. 32

